

ریز مقیاس نمایی داده های بارندگی مدل های اقلیمی^۶ CMIP

توسط نقشه رقومی ارتفاع (مطالعه موردی: استان یزد)

الهام مهدوی نژاد^۱، سید زین العابدین حسینی^{۲*}، حسین ملکی نژاد^۳، محمدحسن رحیمیان^۴، محمدامین اسدی^۵

تاریخ پذیرش: ۱۴۰۳/۱۲/۲۴

تاریخ دریافت: ۱۴۰۳/۱۱/۲۱

چکیده

یکی از مهم ترین اقدامات برای استفاده بهتر از داده های مدل های گردش عمومی (GCM) در مطالعات تغییر اقلیم، انجام ریز مقیاس سازی برای تبدیل آنها از سلول های بزرگ به واحدهای کوچک تر و یا نقطه ای است. در این پژوهش روشی برای ریز مقیاس نمایی داده های بارندگی مدل های بزرگ مقیاس اقلیمی^۶ CMIP ارائه شده است که در آن، از گرادیان بارش - ارتفاع و نقشه رقومی ارتفاع (DEM) استان یزد استفاده گردید تا داده های سه مدل اقلیمی^۱ Tai-ESM₂،^۲ ACCESS-CM₂ و CanESM₅ با دقتهای مکانی ۱۱۸×۱۰۵ کیلومتر مربع، ۱۷۵×۱۳۸ کیلومتر مربع و ۲۷۰×۳۱۰ کیلومتر مربع را به دقت مکانی ۹۰×۹۰ متر مربع بهبود دهد. نتایج حاصل نشان داد که روش پیشنهادی برای ریز مقیاس نمایی بارش، کارایی نسبتاً متفاوتی در مدل های مختلف اقلیمی با دقتهای مکانی مختلف دارد؛ به طوری که دقت این روش در مدل Tai-ESM₂ نسبت به مدل های Access-CM₂ و Can-ESM₅ به میزان بالاتری به دست آمد. همچنین براساس نتایج نهایی این تحقیق، میانگین بارندگی سالانه دهه های آتی استان یزد دارای روند افزایشی بوده و این مدل ها افزایش بارش ۱ تا ۲۳ درصد (میانگین ۱۳ درصد) نسبت به دوره پایه را پیش بینی می کنند. در بین سه مدل اقلیمی مذکور، بیشترین افزایش بارش ها توسط ACCESS-CM₂ پیش بینی شده و در بین چهار سناریوی SSP بیشترین افزایش بارش توسط سناریوی SSP_{3-7.0} پیش بینی شده است.

کلیدواژه ها: توپوگرافی زمین، گرادیان بارش - ارتفاع، نقشه بدون بعد بارندگی، مدل های گردش عمومی، سناریوهای SSP.

۱. دانشجوی دکتری علوم و مهندسی آبخیزداری، دانشکده منابع طبیعی و کویرشناسی دانشگاه یزد؛ mailto:mahdavie30@gmail.com

۲. دانشیار گروه مرتع و آبخیزداری دانشکده منابع طبیعی و کویرشناسی دانشگاه یزد، نویسنده مسئول؛ mailto:zhosseini@yazduni.ac.ir

۳. دانشیار گروه مرتع و آبخیزداری دانشکده منابع طبیعی و کویرشناسی دانشگاه یزد؛ malekinezhad.h@gmail.com

۴. استادیار مرکز ملی تحقیقات شوری، سازمان تحقیقات، آموزش و ترویج کشاورزی، یزد، ایران؛ mailto:mrahimian@gmail.com

۵. استادیار گروه مرتع و آبخیزداری دانشکده منابع طبیعی و کویرشناسی دانشگاه یزد؛ amin.asadi4@gmail.com

۶. این مقاله برگرفته از رساله دکتری دانشگاه یزد است.

مقدمه

نظیر یک ایستگاه (نقطه)، محدوده شهری، دشت، زیرحوزه و یا حوزه آبریز نیازمند تدبیر ویژه است. این تدبیر که به ریزمقیاس‌سازی^۳ معروف‌اند، مهم‌ترین گام برای استفاده از داده‌های مدل‌های گردش عمومی در مطالعات تغییر اقلیم محسوب می‌شوند. در حال حاضر از روش‌های مختلفی برای ریزمقیاس‌سازی داده‌های مدل‌های گردش عمومی از مقیاس سلول بزرگ به مقیاس‌های کوچک و نقطه‌ای استفاده می‌شود که عمدتاً بر پایه تحلیل آماری نقطه‌ای ایستگاه‌های هواشناسی GCM زمینی و ارتباط این آمار با اعداد ارائه‌شده توسط نتایج SDSM در مقیاس بزرگ است. یکی از متداول‌ترین روش‌های مورد استفاده در این زمینه، روش آماری^۴ است که توسط نرم‌افزارهایی نظیر Lars-WG یا SDSM (Semenov^۵ و همکاران، ۱۹۹۸) انجام می‌شود. به‌طور عمومی، روش‌های آماری ریزمقیاس‌نمایی به سه دستهٔ عمدت تقسیم می‌شوند که شامل مولدۀای آب‌وهوا^۶ (WG)، توابع انتقالی^۷ (TF) و الگوهای آب‌وهوا^۸ (WT) هستند (Wilby^۹ و همکاران، ۲۰۰۴). اخیراً مولدۀای آب‌وهوا^{۱۰}ی به عنوان یکی از پرکاربردترین روش‌های تولید داده‌های اقلیمی براساس معیارهای معین و مناسب به کار گرفته شده‌اند (Simeonov و لی، ۲۰۰۳؛ Yates^{۱۱} و همکاران، ۲۰۰۳). مولدۀای آب‌وهوا در واقع مدل‌های تصادفی هستند که به تولید سری پیوسته داده‌های هواشناسی در منطقه مورد نظر می‌پردازنند و به دو دستهٔ پارامتریک و ناپارامتریک طبقه‌بندی می‌شوند. مدل‌هایی نظیر WGEN و Lars-WG از نوع پارامتریک محسوب شده اما به عنوان مدل‌های تکایستگاهی شناخته شده و قادر به شبیه‌سازی همزمان داده‌های هواشناسی در چند ایستگاه نیستند. علاوه بر این، این مدل‌ها در بررسی تغییرپذیری سالانه میانگین ماهانه متغیرها دارای ایراد هستند (صفری و خاتمی، ۲۰۱۹؛ Jia^{۱۲} و

پدیده تغییر اقلیم که ناشی از افزایش غلظت گازهای گلخانه‌ای بهویژه گاز دی‌اکسید کربن در جو است، باعث تغییراتی در رژیم بارش، میزان رواناب، سرعت باد، تابش خورشیدی رسیده به سطح زمین و دمای هوا می‌شود. در این راستا، توجه به تغییرات اقلیمی در سال‌های اخیر به علت پیامدهای اقتصادی، اجتماعی و خسارت‌های مالی مربوط به رویدادهای جوی اهمیت خاصی پیدا کرده است. بر همین اساس نتایج و داده‌های شبیه‌سازی مدل‌های اقلیمی که با عنوان مدل‌های گردش عمومی^۱ (GCM) و یا مدل‌های گردش عمومی جوی و اقیانوسی^۲ (AOGCM) شناخته می‌شوند، می‌توانند در شناسایی، شبیه‌سازی و بررسی ابعاد و پیامدهای پدیده تغییر اقلیم و مدیریت مخاطرات محیطی بهویژه مخاطرات مرتبط با بارندگی و دمای هوا مورد استفاده قرار گیرند. این مدل‌ها تمامی روابط فیزیکی حاکم بر اجزای سیستم اقلیمی کره زمین شامل جوکره، یخکره، زیستکره و آبکره را در نظر گرفته و این روابط پیچیده را در یک فضای سه‌بعدی در سطح کره زمین حل می‌کنند. اما به رغم اینکه خروجی مدل‌های گردش عمومی جو از معتبرترین روش‌ها برای مطالعات تغییر اقلیم‌اند، نتایج این مدل‌ها از دقت مکانی چندان مناسبی برای مطالعات اثر تغییر اقلیم در مقیاس‌های کوچک نظیر یک ایستگاه هواشناسی برخوردار نیستند؛ زیرا متغیرهای پیش‌بینی کننده مدل‌های گردش عمومی جو مربوط به عرصه وسیعی بر روی زمین بوده و این عرصه با مساحت تقریبی صدها کیلومتر مربع، دارای تنوعی از تپوگرافی، پوشش گیاهی و کاربری اراضی است که هریک از این موارد می‌توانند بر توزیع مکانی متغیرهای اقلیمی در داخل این عرصه (نظیر توزیع مکانی بارندگی و یا دمای هوا) به‌طور اساسی تأثیرگذار باشند. برخی از این مدل‌ها نظیر HadCM3 حتی برای یک محدوده بزرگ نظیر یک استان تنها یک عدد ارائه می‌دهند. بنابراین تعمیم داده‌های اقلیمی از یک مقیاس بزرگ به مقیاس‌های کوچک‌تر

- 3. Downscaling
- 4. Statistical Downscaling
- 5. Semenov
- 6. Weather Generators (WG)
- 7. Transfer Functions (TF)
- 8. Weather Typing (WT)
- 9. Wilby
- 10. Simonovic & Li
- 11. Yates
- 12. Jia

- 1. General Circulation Models (GCM's)
- 2. Atmospheric and Oceanic General Circulation Models (AOGCM's)

است. پس از ارزیابی و تعیین مدل های مناسب توسط کشورها، به هیئت بینالدول تغییر اقلیم^۵ یا IPCC ارائه می شوند و این هیئت آنها را به صورت گزارش های ارزیابی^۶ یا AR در بین جوامع علمی جهان منتشر می کند. آخرین مدل اقلیمی ارائه شده توسط این هیئت مدل^۶ CMIP است که در سال ۲۰۱۶ میلادی به جهان معرفی شده و در آن جدیدترین مدل های AOGCM مورد ارزیابی و ارائه قرار گرفته اند. برای تصویرسازی متغیرهای اقلیمی در دوره های آتی توسط مدل های اقلیمی^۶ CMIP نیاز به سناریوهای انتشار گازهای گلخانه ای است. تاکنون چهار سری از سناریوهای انتشار گازهای گلخانه ای توسط هیئت بینالدول تغییر اقلیم با نام های IS92^۷, AR^۸, RCP^۹ و SSP^{۱۰} ارائه شده است که جدیدترین آنها (با عنوان سناریوهای SSP) در سال ۲۰۲۰ میلادی معرفی شده اند. در مدل های اقلیمی ارائه شده در CMIP^۶ و همچنین گزارش ششم IPCC (AR₆) از سناریوهای SSP استفاده شده است. هریک از مدل های CMIP^۶ دارای دقت مکانی متفاوتی هستند؛ به طوری که هر سلول (زون) از این مدل ها دارای ابعاد مختلف نظیر ۱۱۸×۱۰۵ کیلومتر مربع، ۱۷۵×۱۳۸ کیلومتر مربع و ۲۷۰×۳۱۰ کیلومتر مربع هستند. برای کارآمد شدن این مدل ها و استفاده کاربردی از داده های آنها، روش مناسبی برای ریزمقیاس نمایی لازم است که بتواند نتایج آنها را به مقیاس های کوچک تر نظیر یک ایستگاه هواشناسی در سطح زمین تعمیم دهد. پژوهش حاضر با هدف ارائه روشی برای ریزمقیاس نمایی خروجی های بارندگی تعدادی از مدل های CMIP^۶ (با دقت های مکانی متفاوت) در استان یزد انجام شده است. پارامتر بارش یک مؤلفه بنیادی در چرخه آب بوده و یکی از مهم ترین داده های هیدرولوژیکی برای مطالعات اقلیمی، هواشناسی، هیدرولوژی در علوم و مهندسی آبخیز و محیط

همکاران، ۲۰۲۰). در مقابل، مدل های ناپارامتریک می توانند برای شبیه سازی همزمان داده های هواشناسی چند ایستگاه مختلف به کار بروند. مدل های ناپارامتریک توانایی مناسبی در مدل سازی متغیرهای محیطی دوره های خشک و ترو باز تولید تغییرات سالانه متغیرها از طریق داده های میانگین ماهانه آنها دارند (سید کابلی و همکاران، ۲۰۱۸). پوگیو و گیمونا^۱ (۲۰۱۵) با ریزمقیاس نمایی و اصلاح خروجی های مدل های اقلیم منطقه ای با رویکرد زمین آماری ترکیبی تحقیقی انجام دادند که این مقاله رویکردی برای ریزمقیاس نمایی مدل های اقلیمی براساس ترکیبی از مدل های تعمیم یافته و زمین آمار ارائه نموده و به بهبود پیش بینی رطوبت خاک کمک می کند. همچنین دیبايك و کوكیالی^۲ (۲۰۰۵) با استفاده از دو روش ریزمقیاس نمایی آماری (شامل روش اعداد تصادفی و روش رگرسیونی) متغیرهای هواشناسی بارش و دما را در کانادا پیش بینی کردند. لیما^۳ و همکاران (۲۰۲۱) نیز یک رویکرد GCM جایگزین برای کاهش مقیاس شبیه سازی بارش روزانه GCM در هر وضوح شبکه دلخواه با استفاده از مدل بیزی کریجینگ (BK) را بررسی کردند که عدم قطعیت های پارامتر را در مقایسه با رویکردهای سنتی بهتر نشان داد. پاز و ویلمز^۴ (۲۰۲۲) به بررسی نقاط قوت و ضعف مجموعه ای از روش های نقشه برداری کمی برای ریزمقیاس نمایی تغییرات بارش در جنوب آفریقا پرداختند که در این تحقیق شش روش با استفاده از تبدیل های پارامتری، سه روش با تبدیل های ناپارامتریک و یک روش با تبدیل های توزیع های نظری مورد ارزیابی قرار گرفت. نتایج حاکی از آن بود که روش استفاده از توزیع های نظری بهترین روش در بررسی تغییرات ناچیز بارش در منطقه مطالعاتی است. با تجزیه و تحلیل سهم عدم قطعیت روش ها مشخص شد که مدل های اقلیمی بیشترین سهم را در عدم قطعیت این پیش بینی ها دارند.

از دهه ۱۹۹۰ میلادی تاکنون نسخه های مختلفی از مدل های AOGCM توسط کشورهای مختلف ارائه شده

5. Intergovernmental Panel of Climate Change (IPCC)

6. Assessment Report (AR)

7. The six alternative IPCC scenarios (IS92 A to F)

8. Special Report on Emissions Scenarios (SRES)

9. Representative Concentration Pathways (RCP)

10. Shared Socio-economic Pathways (SSP)

1. Poggio & Gimona

2. Dibike & Coulibaly

3. Lima

4. Paz & Willems

عبدالله بیور و همکاران، (۲۰۲۰). زیست محسوب می‌شود (شی ۱ و همکاران، ۱۵، ۲۰۲۰).

مواد و روش‌ها

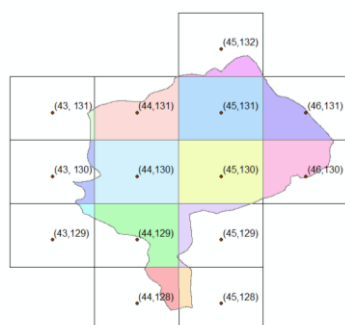
معرفي منطقه مطالعاتي

منطقهٔ مورد مطالعه برای انجام این پژوهش استان یزد است که مساحتی بالغ بر ۷۳ هزار کیلومتر مربع دارد. این استان در بین عرض‌های جغرافیایی ۲۹/۵ تا ۳۳/۵ درجهٔ شمالی و طول‌های جغرافیایی ۵۲/۵ تا ۵۶/۵ درجهٔ شرقی قرار گرفته است. در بخش وسیعی از استان یزد (حدود ۸۵ درصد) شرایط آب‌وهوایی بیابانی و گرم و خشک حکم‌فرماست. با توجه به تقسیم‌بندی اقلیمی دو مارتن که متوسط بارش و دمای سالانه را مد نظر قرار می‌دهد، اقلیم این استان عمدتاً از نوع خشک بوده و تنها در بخش‌های کوچکی از منطقهٔ شیرکوه واقع در شهرستان تفت، از نوع نیمه‌خشک و مدیترانه‌ای تقسیم‌بندی شده است. تنوع در توپوگرافی (ارتفاع از سطح دریا بین ۷۱۱ تا ۴۰۴۲ متر) و تأثیر آن بر توزیع بارندگی از دلایل اصلی انتخاب این منطقه برای انجام پژوهش است.

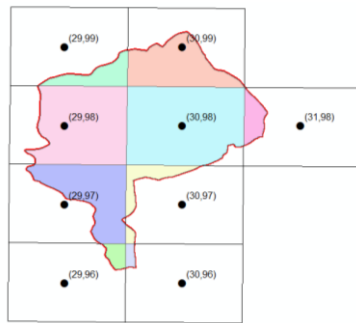
روش تحقیق

داده‌های مورد استفاده برای انجام این پژوهش شامل بارندگی‌های سالانه ایستگاه‌های باران‌سنجی استان یزد (۵۳ ایستگاه)، مدل رقومی ارتفاع (DEM) با دقت تفکیک مکانی ۹۰ متر، داده‌های بارندگی مربوط به تعدادی از مدل‌های اقلیمی موجود در گزارش ششم هیئت بین‌الدول تغییر اقلیمی (AR₆) شامل مدل‌های ACCESS-CM₂, TaiESM₁ و CanESM₅ بودند. مدل‌های مذکور به ترتیب دارای دقت مکانی ۰/۹۴۲ در ۱/۲۵ درجه، ۱/۸۷۵ در ۱/۲۵ درجه، ۲/۸۱۳ در ۰/۹۰ درجه جغرافیایی هستند که هر سلول (زون) این مدل‌ها به ترتیب دارای ابعاد تقریبی 118×105 کیلومتر مربع، 175×138 کیلومتر مربع و 270×310 کیلومتر مربع هستند.

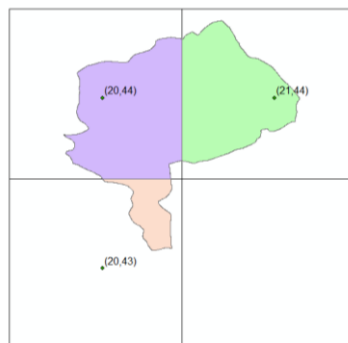
شکل (۱) موقعیت قرارگیری سلول‌های مدل‌های اقلیمی مذکور را بر روی نقشه استان یزد نشان می‌دهد.



الف) مدل TaiESM₁ (دقت مکانی ۹۴۲/۰ در ۱/۲۵ درجه)



ب) مدل ACCESS-CM₂ (دقت مکانی ۱/۸۷۵ در ۱/۲۵ درجه)



ج) مدل CanESM₅ (دقیق مکانی ۲/۸۱۳ در ۲/۷۹۱ درجه)

شکل (۱): موقعیت قرارگیری سلول‌های سه مدل مختلف اقلیمی
CMPI₆ بر روی نقشه استان یزد

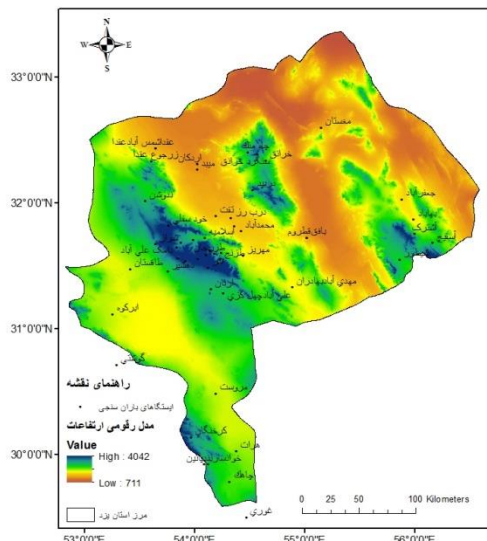
Figure (1): Location of the cells of three different CMIP6 climate models on the map of Yazd province

بدین ترتیب، محدوده استان یزد براساس هریک از مدل‌های مذکور در چندین سلول (زون) قرار می‌گیرد که تعداد آن‌ها برای مدل‌های ACCESS-CM₂, TaiESM₁ و CanESM₅ به ترتیب ۱۴، ۹ و ۳ عدد است. درصد مساحت واقع شده استان یزد در هر سلول به صورت جدول (۱) است. از اعداد این جدول برای وزن‌دهی به هر سلول واقع در محدوده استان یزد استفاده شده است.

پایه و آتی بر اساس درصد مساحت تحت پوشش هر سلول (جدول ۱) شد. معادله (۱) نحوه محاسبه میانگین بارندگی پیش بینی شده توسط مدل های CMPI₆ برای کل محدوده مطالعاتی را نشان می دهد.

$$[P_{a_CMIP6}]_i = \left[\sum_{n=1}^n X_{c_CMIP6} * P_{c_CMIP6} \right]_i \quad (1)$$

که در آن P_{c_CMIP6} مقدار بارندگی پیش بینی شده توسط هریک از مدل های CMPI₆ در هر سلول، X_{c_CMIP6} وزن سلول مربوطه در مدل مذکور (جدول ۱)، n شماره هریک از ماه های سال (۱۲) تا n و n تعداد سلول های مربوط به هریک از مدل های CMPI₆ است که برای ACCESS-CM₂, TaiESM₁, CanESM₅ به ترتیب ۱۴, ۹ و ۳ عدد است. هم زمان با محاسبه میانگین بارندگی های ماهانه و تبدیل آنها به بارندگی های سالانه برای کل محدوده مطالعاتی، اقدام به بررسی ارتباط رگرسیونی بین مقادیر بارندگی سالانه و ارتفاع از سطح دریای ایستگاه های باران سنجی استان یزد (۵۳) ایستگاه، شکل (۲) شد تا گردایان ارتفاع - بارندگی برای کل محدوده مطالعاتی برای دوره آماری پایه به دست آید.



شکل (۲): موقعیت مکانی ایستگاه های باران سنجی استان یزد
Figure (2): Spatial location of Yazd province rain gage stations

استفاده از این پارامتر (DEM) در شبیه سازی بارندگی از آن رو اهمیت دارد که همواره رابطه معنی داری بین بارش و برخی متغیرهای محیطی نظیر پوشش گیاهی و توپوگرافی زمین وجود داشته که از این بین، پارامتر ارتفاع از سطح دریا جایگاه

جدول (۱): درصد مساحت واقع شده استان یزد در هریک از سلول های مدل های اقلیمی^۶

Table (1): The percentage of the area of Yazd province located in each of the cells of CMIP6 climate models

نام مدل اقلیمی ^۶	شماره سلول		
CanESM ₅	ACCESS-CM ₂	TaiESM ₁	سلول
9.23%	1.59%	0.48%	۱
48.21%	15.29%	1.43%	۲
42.55%	24.69%	0.42%	۳
-	4.82%	2.79%	۴
-	0.77%	10.63%	۵
-	4.30%	16.65%	۶
-	31.46%	11.36%	۷
-	14.01%	1.54%	۸
-	3.05%	3.13%	۹
-	-	16.68%	۱۰
-	-	16.78%	۱۱
-	-	2.33%	۱۲
-	-	8.67%	۱۳
-	-	7.11%	۱۴
100%	100%	100%	مجموع

مدل های استفاده شده در این پژوهش (TaiESM₁, ACCESS-CM₂ و CanESM₅) هریک مشتمل بر چهار سناریوی SSP_{1-2.6}, SSP_{3-7.0}, SSP_{2-4.5} و SSP_{5-8.5} هستند که برای شبیه سازی بارش ماهانه و سالانه در دوره آتی مورد استفاده قرار گرفتند و امکان مقایسه نتایج شبیه سازی شده تحت هریک از سناریوهای مذکور با مقادیر مشاهداتی بارندگی در دوره پایه فراهم شد. برای این کار، ابتدا داده های بارندگی ماهانه هریک از مدل های اقلیمی مربوط به دوره آماری ۱۸۵۰-۲۰۱۴ میلادی (به عنوان دوره پایه) و ۲۰۱۵-۲۱۰۰ میلادی (به عنوان دوره آینده) تحت سه سناریوی نام برده استخراج شدند. این بخش از پژوهش با کدنویسی در نرم افزار R نسخه ۱.۱۷.۱ و استفاده از پکیج و کتابخانه NCDF4 انجام شد (جیمز^۱ و همکاران، ۲۰۱۳). سپس اقدام به محاسبه میانگین وزنی بارندگی ماهانه کل محدوده مطالعاتی (P_{a_CMIP6}) از طریق وزن دهی بارندگی های ماهانه دوره آماری

1. James

ماهانه بارش دوره آتی نسبت به میانگین ماهانه بارش دوره پایه برای هریک از ماههای سال (ΔP_i) محاسبه می‌شود:

$$\Delta P_i = \left[\frac{(\bar{P}_{a_CMIP6})_{future}}{(\bar{P}_{a_CMIP6})_{base}} \right]_i \quad (3)$$

که منظور از $(\bar{P}_{a_CMIP6})_{future}$ و $(\bar{P}_{a_CMIP6})_{base}$ میانگین وزنی بارش محدوده مطالعاتی توسط هریک از مدل‌های CMIP₆ در دوره‌های آماری پایه و آتی (وزن‌دهی براساس جدول ۱) و منظور از شماره ماه مورد نظر (۱۱ تا ۱۲) است. با به دست آمدن ΔP_i در هریک از ماههای سال، میانگین بارش ماهانه درازمدت ایستگاه یزد در دوره پایه (\bar{P}_{s-base}) به بارش ماهانه درازمدت این ایستگاه در دوره آتی ($\bar{P}_{s-future}$) تبدیل شد:

$$[\bar{P}_{s-future}]_i = [\bar{P}_{s-base}]_i * \Delta P_i \quad (4)$$

پس از برآورد بارش ماهانه درازمدت ایستگاه یزد در دوره آتی، بارش سالانه این ایستگاه نیز محاسبه شد و با مقادیر به دست آمده براساس روش پیشنهادی این پژوهش مقایسه شد. مقایسه‌ها و ارزیابی‌های انجام شده در این پژوهش با کمک آماره‌های میانگین خطای اریب (MBE)، ضربی همبستگی پیرسون (r)، مجازور میانگین مربعات خطای (RMSE) و مقدار ریشه میانگین مربعات خطای نرمال شده (NRMSE) انجام شده است.

نتایج و بحث

شکل (۳) گرادیان بارش-ارتفاع و نتایج ارزیابی آن برای محدوده مطالعاتی را نشان می‌دهد که براساس تحلیل آمار بارندگی ۵۳ ایستگاه باران‌سنگی در سطح منطقه مطالعاتی تهیه شده است. ارزیابی گرادیان بارش-ارتفاع برای منطقه مطالعاتی نشان می‌دهد که معادله مربوط دارای ضربی همبستگی ۰/۸ و میانگین خطای اریب ۱/۳۶-۰/۳۶ میلی‌متر (دارای اندازه کم برآورد) بوده و با خطای NRMSE برابر با ۰/۳ قادر به برآورد بارندگی منطقه مطالعاتی است (جدول ۲). کارایی روش گرادیان ارتفاع-بارندگی در مطالعات هیدرولوژی به دفعات مورد بررسی قرار گرفته و به اثبات رسیده است (جیا و همکاران، ۲۰۱۱؛ زان و همکاران، ۲۰۱۸).

ویژه‌ای در بین متغیرهای محیطی مؤثر بر بارندگی دارد (جیا و همکاران، ۲۰۱۱؛ زان^۱ و همکاران، ۲۰۱۸). سپس با کمک معادله گرادیان ارتفاع-بارندگی و مدل رقومی ارتفاعات (DEM)، نقشه بارندگی درازمدت منطقه مطالعاتی با دقت مکانی ۹۰×۹۰ متر مربع تهیه شد (نقشه P_{c-base}). سپس به کمک هیستوگرام نقشه مذکور، میانگین وزنی بارندگی منطقه مطالعاتی در دوره پایه (\bar{P}_{a-base}) محاسبه و نقشه بدون بعد بارندگی محدوده مطالعاتی (نقشه P_d) توسط معادله زیر تهیه شد:

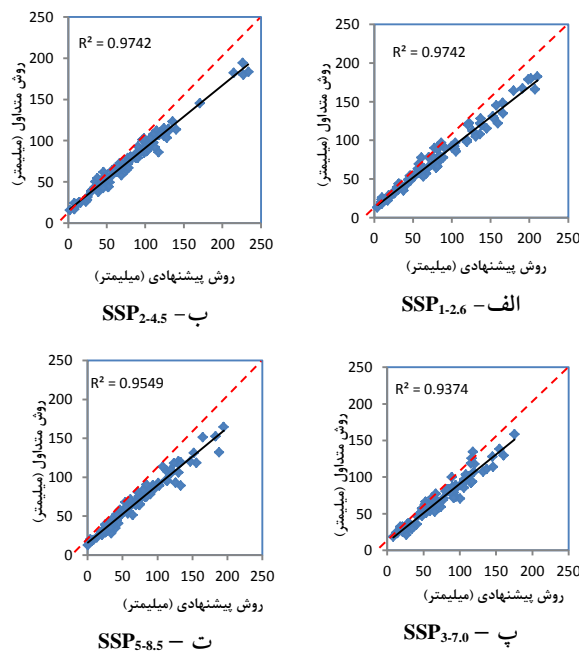
$$P_d = \frac{P_{c-base}}{\bar{P}_{a-base}} \quad (2)$$

این نقشه نسبت بارندگی هر پیکسل از محدوده مطالعاتی به میانگین بارندگی درازمدت منطقه را نشان می‌دهد و دارای دقت تفکیک مکانی ۹۰×۹۰ متر مربع است. میانگین وزنی اعداد این نقشه برابر با یک است. از این نقشه برای ریزمقیاس‌نمایی داده‌های بارش مدل‌های اقلیمی₆ (CMPI₆) که دارای دقت تفکیک مکانی پایینی هستند) و تبدیل آن‌ها به نقشه بارش محدوده مطالعاتی با دقت تفکیک مکانی ۹۰×۹۰ متر مربع استفاده شد. برای این منظور هریک از مقادیر سالانه در نقش P_d ضرب شدنده و نقشه‌های بارشی مدل‌های CMPI₆ و تحت سناریوهای مختلف SSP با دقت مکانی ۹۰×۹۰ متر مربع و به تفکیک سال‌های آماری دوره پایه (۲۰۱۴-۱۸۵۰) و آتی (۲۰۱۵-۲۰۱۰ میلادی) تهیه شوند. بدین ترتیب نقشه‌های ریزمقیاس بارندگی منطقه مطالعاتی براساس مدل‌های CMPI₆ تهیه شدند و به کمک آن‌ها، مقادیر بارندگی ایستگاه‌های مختلف باران‌سنگی استخراج شدند. برای ارزیابی روش ریزمقیاس‌نمایی مذکور، داده‌های بارش مدل‌های اقلیمی₆ (CMPI₆) برای ایستگاه هواشناسی یزد (دارای طول جغرافیایی ۵۴°۳۷' و عرض جغرافیایی ۳۱°۸۲' درجه) توسط یکی دیگر از روش‌های متداول، ریزمقیاس شد. در روش مد نظر برای ریزمقیاس‌نمایی بارش CMIP₆ ایستگاه یزد از روش تناسبی (جونز و هولم،² ۱۹۹۶) استفاده شد. در این روش ابتدا نسبت‌های میانگین

1. Zhan

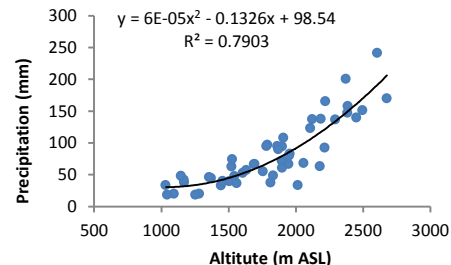
2. Jones & Hulme

شکل های (۵)، (۶) و (۷) به مقایسه و ارزیابی مقادیر ریزمقیاس شده بارندگی مدل های ACCESS-CM₂, TaiESM₁, SSP₃₋, SSP_{2-4.5}, SSP_{1-2.6}, CanESM₅ و SSP_{5-8.5} تحت چهار سناریویی (SSP_{7.0}, SSP_{5-8.5}) پرداخته و نتایج روش پیشنهادی (استفاده از نقشه بدون بعد بارندگی، P_d) را با نتایج روش تناسبی به عنوان یکی از روش های متداول ریزمقیاس سازی داده های اقلیمی مقایسه کرده است. در این شکل ها، خط ۱ به ۱ نیز ترسیم شده تا امکان مقایسه بهتر نتایج و بررسی انحراف داده ها نسبت به این خط قابل مشاهده باشد. از مهم ترین موارد قابل توجه این نمودارها، عدم مشاهده روند خاص در دقت سناریوهای مختلف SSP است؛ به طوری که در هر یک از مدل های اقلیمی CMIP₆، نمی توان از لحاظ ضریب تبیین (R^2) یک سناریو را نسبت به سناریوی دیگر برتر دانست.



شکل (۵): مقایسه مقادیر ریزمقیاس شده بارندگی های مدل Tai-ESM₂ به دو روش پیشنهادی و متداول تحت سناریوهای مختلف SSP برای ایستگاه یزد

Figure (5): Comparison of downscale rainfall values of Tai-ESM2 model by two proposed and common methods under different SSP scenarios for Yazd station



شکل (۳): گرادیان بارش - ارتفاع برای محدوده مطالعاتی

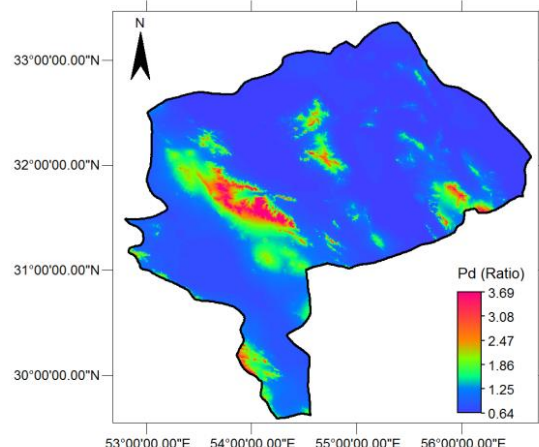
Figure (3): Precipitation-height gradient for the study area

جدول (۲): نتایج ارزیابی گرادیان بارش - ارتفاع برای محدوده مطالعاتی

Table (2): The results of the assessment of precipitation gradient - height for the study area

مقادیر	آماره
0.64	ضریب تبیین (R^2)
0.80	ضریب همبستگی پیرسون (r)
-1.36	میانگین خطای اریب (MBE)
24.98	مجدول میانگین مربعات خطای (RMSE)
0.30	ریشه میانگین مربعات خطای نرمال شده (NRMSE)

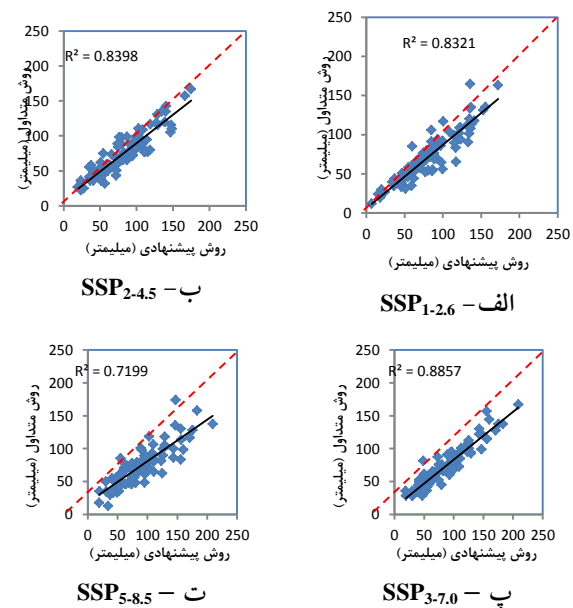
در شکل (۴) نقشه بارندگی بدون بعد منطقه مطالعاتی ترسیم شده است. این نقشه از تقسیم میزان بارندگی هر پیکسل به میانگین بارندگی منطقه مطالعاتی (۸۳ میلی متر) حاصل شده و دارای دقت تفکیک مکانی ۹۰×۹۰ متر مربع است. بیشترین و کمترین مقادیر نقشه P_d به ترتیب مربوط به مناطق کوهستانی و کویری استان یزد است. همچنین، میانگین وزنی نقشه بارندگی بدون بعد برابر با ۱ بوده و از آن برای ریزمقیاس نمایی داده های بارش سه مدل اقلیمی CMPI₆ (CanESM₅ و ACCESS-CM₂, TaiESM₁) شامل مدل های (SSP₃₋, SSP_{2-4.5}, SSP_{1-2.6}, SSP_{5-8.5}) استفاده شده است.



شکل (۴): نقشه بارندگی بدون بعد منطقه مطالعاتی

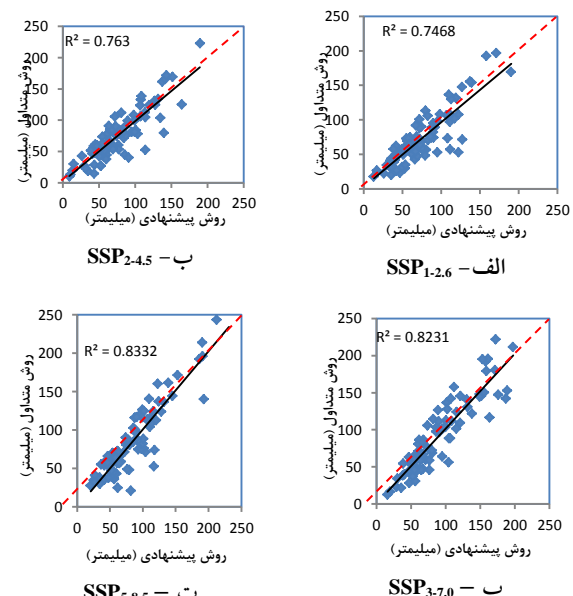
Figure (4): Dimensionless rainfall map of the study area

مختلف اقلیمی CMIP6 برای استگاه یزد پرداخته و نتایج روش پیشنهادی و روش تناوبی را با همدیگر مقایسه کرده است. همان‌طور که در این جدول مشاهده می‌شود، روش پیشنهادی برای ریزمقیاس‌نمایی بارش کارکرد نسبتاً متفاوتی در مدل‌های مختلف اقلیمی دارد؛ به طوری که دقیق این روش در مدل‌های Tai-ESM₂ نسبت به مدل‌های Access-CM₂ و Can-Access-CM₂ بیشتر است. همان‌طور که پیش‌تر اشاره شد، مساحت تحت پوشش هر سلول از مدل‌های ACCESS-TaiESM₁، CM₂ و CanESM₅ به ترتیب برابر با ۲۳۶۰۰، ۱۲۴۰۰ و ۸۳۷۰۰ کیلومتر مربع بوده و دقیق تفکیک مکانی این مدل‌ها به ترتیب کاهش می‌یابد. بنابراین، چنان استنباط می‌شود که برای مدل‌های اقلیمی با تفکیک مکانی بالاتر، دقیق روش پیشنهادی برای ریزمقیاس‌سازی بارندگی بیشتر است. در بین مدل‌های مختلف اقلیمی معرفی شده توسط CMIP6، مدل‌های CESM2-CAM5-CM1-0، BCC-CSM2-MR، FIO-ESM-2-0، CMCC-CM2-SR5، CIESM، WACCM نقشه‌رقومی ارتفاعات برای ریزمقیاس‌سازی داده‌های مدل‌های اقلیمی نظری مدل‌های CMIP6 وجود دارد (هریس و جونز، ۲۰۱۸؛ کوار و جرجیو، ۲۰۱۸؛ آیاچی و احمد، ۲۰۲۱). همچنین، پژوهش‌های مشابهی به منظور ریزمقیاس‌سازی نقشه‌های بارندگی حاصل از تصاویر ماهواره‌ای به کمک متغیرهای محیطی انجام شده است. تحقیقات ما^۴ و همکاران (۲۰۱۷) و فنگ^۵ و همکاران (۲۰۱۳) از این جمله‌اند. آن‌ها به تأثیر عوامل توپوگرافی مانند ارتفاع از سطح دریا، شب زمین و... بر الگوهای توزیع مکانی بارش پرداخته و آن‌ها را برای ریزمقیاس‌نمایی مکانی نقشه‌های



شکل (۶): مقایسه مقادیر ریزمقیاس شده بارندگی‌های مدل-ACCESS-CM2 به دو روش پیشنهادی و متدال تحت سناریوهای مختلف برای استگاه یزد

Figure (6): Comparison of downscale rainfall values of ACCESS-CM2 model with two proposed and common methods under different SSP scenarios for Yazd station



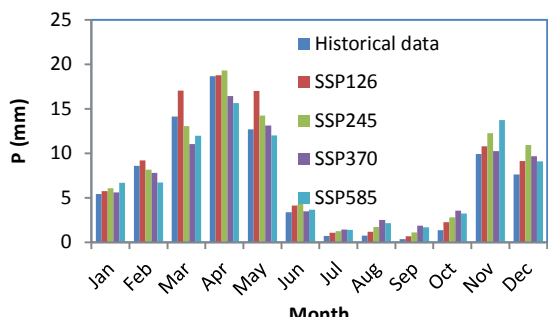
شکل (۷): مقایسه مقادیر ریزمقیاس شده بارندگی‌های مدل-Can-ESM5 به دو روش پیشنهادی و متدال تحت سناریوهای مختلف SSP برای استگاه یزد

Figure (7): Comparison of Can-ESM5 model's downscale rainfall values by two proposed and conventional methods under different SSP scenarios for Yazd station

در جدول (۳) به ارزیابی روش پیشنهادی برای ریزمقیاس‌نمایی داده‌های بارندگی مستخرج از مدل‌های

1. Harris & Jones
2. Kumar & Foufoula-Georgiou
3. Ayachi & Ahmad
4. Ma
5. Fang

شکل‌های (۸)، (۹) و (۱۰) به شبیه‌سازی میانگین بارندگی ماهانه استان یزد به کمک مدل‌های ACCESS-₁, TaiESM₁, SSP_{2-4.5}, SSP_{1-2.6}, SSP_{3-7.0}, SSP_{5-8.5} و SSP_{3-7.0} تحت چهار سناریوی CM₂, CanESM₅, SSP_{1-2.6}, SSP_{2-4.5}, SSP_{3-7.0} و SSP_{5-8.5} در دهه‌های آتی (۲۰۱۵-۲۱۰۰ میلادی) پرداخته است. براساس نتایج بدست‌آمده از سه مدل اقلیمی ACCESS-CM₂, TaiESM₁ و CanESM₅ در محدوده مطالعاتی، میانگین بارندگی سالانه دهه‌های آتی دارای روند افزایشی بوده و افزایش بارش ۱ تا ۲۳ درصد (میانگین ۱۳ درصد) نسبت به دوره پایه پیش‌بینی شده است. در بین سه مدل اقلیمی CMIP₆, بیشترین افزایش بارش‌ها توسط مدل ACCESS-CM₂ پیش‌بینی شده و در بین چهار سناریوی SSP بیشترین افزایش بارش توسط سناریوی SSP_{3-7.0} پیش‌بینی شده است. شایان ذکر است که هریک از سناریوهای SSP بر پایه مفروضات مختلف اقتصادی و اجتماعی توسعه یافته‌اند. برای مثال، SSP_{1-2.6} به عنوان سناریوی توسعه پایدار, SSP_{2-4.5} به عنوان سناریوی انرژی پایدار, SSP_{3-7.0} به عنوان سناریوی رقابت منطقه‌ای و SSP_{5-8.5} به سناریوی توسعه سوخت فسیلی معروف است. از نکات حائز اهمیت در این زمینه، پیش‌بینی تغییر الگوی توزیع ماهانه بارش‌های استان یزد به رغم پیش‌بینی روند افزایشی مقدار بارش‌هاست؛ به طوری که در برخی مدل‌ها و سناریوها احتمال کاهش بارندگی ماههای اکتبر و نوامبر (بارش‌های زمستانه) وجود داشته، در مقابل احتمال افزایش بارندگی ماههای آپریل، می و ژوئن (بارش‌های بهاره و تابستانه) وجود دارد.



شکل (۸): شبیه‌سازی میانگین بارندگی ماهانه استان یزد در دهه‌های آتی به کمک مدل ESM₁ تحت سناریوهای مختلف SSP

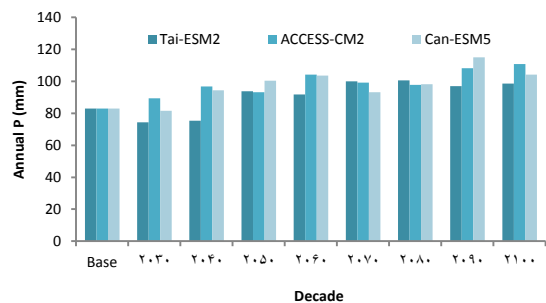
Figure (8): Simulating the average monthly rainfall of Yazd province in the coming decades using the Tai-ESM₁ model under different SSP scenarios

بارندگی توصیه کرده‌اند. در تحقیق دیگری که ما و همکاران (۲۰۱۸) انجام داده‌اند، از متغیرهای زمینی شامل NDVI، دمای سطح زمین در روز و شب، DEM و سایر شاخص‌های توپوگرافی و مدل جنگل تصادفی برای ریزمقیاس‌نمایی بارندگی استفاده کرده‌اند. چن^۱ و همکاران (۲۰۱۹) و ژائو^۲ و همکاران (۲۰۲۱) نیز با در نظر گرفتن نایستایی مکانی در روابط بین بارش و متغیرهای محیطی، همین روش را برای ریزمقیاس‌نمایی چند نمونه از محصولات بارندگی تصاویر ماهواره‌ای استفاده کرده‌اند. عبدالله‌پور و همکاران (۲۰۲۱) نیز برای ریزمقیاس‌نمایی بارش تصاویر ماهواره‌ای، از رابطه مکانی ناهمگن بین بارش و متغیرهای محیطی برای استان گلستان استفاده کرده‌اند. آن‌ها با استفاده از مدل رگرسیون وزنی جغرافیایی مختلط^۳ (MGWR) مدلی را برای این کار توسعه داده‌اند و در دستیابی به داده‌های بارش بهبود یافته به روزولوشن مکانی یک کیلومتر در مقیاس سالانه، به این نتیجه رسیدند که این روش نه تنها روزولوشن مکانی بهبود می‌یابد، بلکه دقیق‌تر ریزمقیاس‌سازی نیز افزایش پیدا می‌کند. در این تحقیق، داده‌های بارش ریزمقیاس‌شده و کالیبره شده، عملکرد بهتری نسبت به داده‌های اصلی در برابر مشاهدات زمینی داشتند.

جدول (۳): نتایج ارزیابی روش پیشنهادی برای ریزمقیاس‌نمایی بارندگی مدل‌های اقلیمی CMIP6 در استگاه یزد					
Table (3): The results of the evaluation of the proposed method for downscaling of precipitation of CMIP6 climate models in Yazd station					
NRMSE	RMSE	MBE	r	R ²	مدل اقلیمی
0.19	14.4	4.7	0.98	0.97	SSP126
0.18	13.7	4.0	0.98	0.97	SSP245
0.17	11.7	3.5	0.97	0.94	SSP370
0.20	14.1	3.3	0.97	0.95	SSP585
0.24	17.8	10.2	0.91	0.83	SSP126
0.21	15.7	7.1	0.92	0.84	SSP245
0.27	20.1	13.1	0.94	0.89	SSP370
0.16	11.8	7.6	0.85	0.72	SSP585
0.27	19.2	1.8	0.87	0.75	SSP126
0.26	19.6	0.8	0.87	0.76	SSP245
0.22	20.4	-1.6	0.91	0.82	SSP370
0.22	19.7	-0.6	0.91	0.83	SSP585

1. Chen
2. Zhao
3. Mixed Geographically Weighted Regression (MGWR)

برمی گردد (اقدامی راد و همکاران، ۲۰۱۶؛ شهیدی و همکاران، ۲۰۱۶).

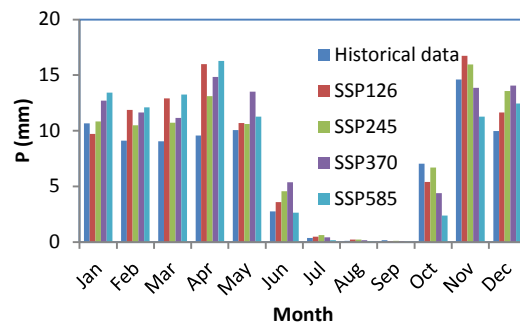


شکل (۱۱): پیش‌بینی میانگین بارش محدوده مطالعاتی در دهه‌های آتی توسط مدل‌های مختلف CMIP6

Figure (11): Forecasting the average precipitation of the study area in the coming decades by different CMIP6 models

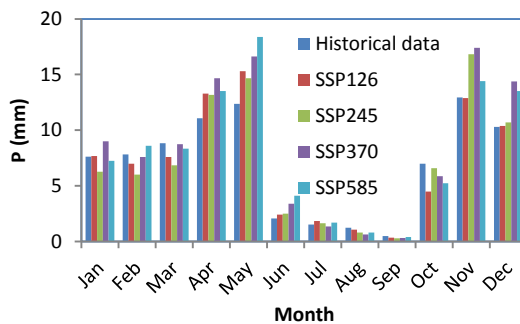
نتیجه‌گیری و پیشنهادات

در این پژوهش روشی برای ریزمقیاس‌نمایی داده‌های بزرگ‌مقیاس بارندگی مدل‌های اقلیمی^۶ CMIP6 ارائه شد که در آن، از ارتباط مکانی بین بارندگی و ارتفاع از سطح دریا (گرادیان بارش-ارتفاع) و مدل رقومی ارتفاعات (DEM) به عنوان مهم‌ترین متغیر محیطی تأثیرگذار بر بارش استان یزد استفاده شده است. نتایج حاصل نشان داد که می‌توان به کمک نقشه DEM با دقیقیت ۹۰×۹۰ متر مربع، داده‌های بارندگی سه مدل اقلیمی^۱, Tai-ESM₂, ACCESS-CM₂ و Can-ESM₅ با دقت‌های مکانی انداز را با موفقیت ریزمقیاس کرد و دقت مکانی آن را به ۹۰×۹۰ متر مربع بهبود داد. نتایج نشان داد که روش پیشنهادی ریزمقیاس‌نمایی بارش کارکرد نسبتاً متفاوتی در مدل‌های مختلف اقلیمی دارد؛ به طوری که دقت این روش در مدل₂ Tai-ESM₂ نسبت به مدل‌های Access-CM₂ و Can-ESM₅ بیشتر بود. براساس نتایج حاصل، چنین استنباط می‌شود که این روش برای مدل‌های اقلیمی با تفکیک مکانی بالاتر، دارای دقت و کارایی بالاتری برای ریزمقیاس‌سازی است. در بین مدل‌های مختلف اقلیمی معرفی شده توسط CMIP6، مدل‌های BCC-CSM2-MR, CMCC-, CIESM, CESM2-WACCM, CAMS-CSM1-0 MRI-ESM2-, GFDL-ESM4, FIO-ESM-2-0, CM2-SR5 و INM-CM4-8 دارای کوچک‌ترین ابعاد سلول و بالاترین



شکل (۹): شبیه‌سازی میانگین بارندگی ماهانه استان یزد در دهه‌های آتی به کمک مدل Access-CM2 تحت سناریوهای مختلف SSP

Figure (9): Simulating the average monthly rainfall of Yazd province in the coming decades with the help of Access-CM2 model under different SSP scenarios



شکل (۱۰): شبیه‌سازی میانگین بارندگی ماهانه استان یزد در دهه‌های آتی به کمک مدل Can-ESM5 تحت سناریوهای مختلف SSP

Figure (10): Simulating the average monthly rainfall of Yazd province in the coming decades using the Can-ESM5 model under different SSP scenarios

شکل (۱۱) به پیش‌بینی میانگین بارش محدوده مطالعاتی در دهه‌های آتی توسط مدل‌های مختلف CMIP6 و مقایسه با میزان بارندگی دوره پایه پرداخته است. به طور عمومی، افزایش بارش پیش‌بینی شده توسط مدل ACCESS-CM₂ بیشتر از سایر مدل‌های است. همچنین، در برخی دهه‌ها (۲۰۳۰ و ۲۰۴۰ میلادی)، مدل₂ Tai-ESM₂ کاهش میانگین بارندگی سالانه را پیش‌بینی کرده است. از دلایل اصلی تفاوت نتایج هر مدل با مدل دیگر (و یا هر سناریو با سناریوی دیگر)، عدم قطعیت موجود در مدل‌های مختلف پیش‌بینی متغیرهای اقلیمی است که به دلایل متعددی نظیر خودکارکرد مدل‌های گردش عمومی جو (مانی و سای،^۱ ۲۰۱۶) و فرضیات مورد استفاده در سناریوهای مختلف انتشار گازهای گلخانه‌ای

سناریوی SSP بیشترین افزایش بارش توسط سناریوی $\text{SSP}_{3.0}$ پیش‌بینی شده است. از نکات حائز اهمیت در این زمینه، پیش‌بینی تغییر الگوی ماهانه بارش‌های استان یزد به‌رغم پیش‌بینی روند افزایش بارش سالانه است؛ به‌طوری‌که در برخی مدل‌ها و سناریوها احتمال کاهش بارندگی ماهانه اکبر و نوامبر (بارش‌های زمستانه) وجود داشته، در مقابل احتمال افزایش بارندگی ماهانه آبریل، می و ژوئن (بارش‌های بهاره و تابستانه) وجود دارد. مهم‌ترین پیشنهاد تحقیق حاضر، توصیه به کارگیری روش پیشنهادی برای ریزمقیاس‌سازی داده‌های بارندگی مدل‌های CMIP6 به‌منظور استفاده واقعی‌تر و کاربردی‌تر از داده‌های بزرگ‌مقیاس جهانی بارش در سطح محدودهٔ مطالعاتی است.

دقت تفکیک مکانی بوده و به کارگیری روش پیشنهادی برای ریزمقیاس‌سازی داده‌های بارندگی این مدل‌ها توصیه می‌شود. در ادامه، اقدام به شبیه‌سازی میانگین بارندگی ماهانه و ACCESS-₁, TaiESM₁, SSP_{1-2.6}, CM₂, SSP_{2-4.5}, SSP_{3-7.0} و SSP_{5-8.5} تحت چهار سناریوی $\text{SSP}_{1-2.6}$, $\text{SSP}_{2-4.5}$, $\text{SSP}_{3-7.0}$ و $\text{SSP}_{5-8.5}$ در دهه‌های آتی (۲۰۱۵-۲۱۰۰ میلادی) شد. براساس نتایج به‌دست‌آمده از سه مدل اقلیمی مذکور در محدودهٔ مطالعاتی، میانگین بارندگی سالانه دهه‌های آتی دارای روند افزایشی بوده و این مدل‌ها افزایش بارش ۱ تا ۲۳ درصد (میانگین ۱۳ درصد) نسبت به دورهٔ پایه را پیش‌بینی می‌کند. در بین سه مدل اقلیمی مذکور، بیشترین افزایش بارش‌ها توسط ACCESS-CM₂ پیش‌بینی شده و در بین چهار

منابع

1. Abdollahipour, A., Ahmadi, H., & Aminnejad, B. (2020). Evaluating the Hydrological Utility of Satellite-Based Rainfall Products Using Neural Network Models over the Ghare Ghieh River Basin, Iran. *Journal of Water and Climate Change*, 12(7), 3018–3044.
2. Abdollahipour, A., Ahmadi, H., Aminnejad, B., (2021). Micro-scale satellite precipitation considering the heterogeneous spatial relationship between precipitation and environmental variables. *Journal of Natural Geography*, 13(54): 109-126.
3. Ayachi, M. N. & Ahmad, S. (2021). Use of DEM in Precipitation Downscaling: A Case Study of the CMIP6 Models. *Water*, 13(9), 1234.
4. Chen, Sh., Zhang, L., She, D., & Chen, J. (2019). Spatial Downscaling of Tropical Rainfall Measuring Mission (TRMM) Annual And Monthly Precipitation Data over The Middle And Lower Reaches of The Yangtze River Basin, China. *Water*, 11(3), P.568.
5. Dibike, Y.B. & Coulibaly, P. (2005). Hydrologic Impact of Climate Change in the Saguenay Watershed: Comparison of Downscaling Methods and Hydrologic Models. *Journal of Hydrology*, 307, 145-163.
6. Eghdamirad, S., Johnson, F., Woldemeskel, F., & Sharma, A. (2016). Quantifying the sources of uncertainty in upper air climate variables. *Journal of Geophysical Research: Atmospheres* 27, 121(8), 3859-74.
7. Fang, J., Du, J., Xu, W., Shi, P., Li, M., & Ming, X. (2013). Spatial Downscaling of TRMM Precipitation Data Based on the Orographical Effect And Meteorological Conditions In A Mountainous Area, Elsevier, *Advances In Water Resources*, 61, 42–50.
8. Harris, I. & Jones, P. D. (2018). Climate change and climate variability in the CMIP6 era: A review of impacts and adaptation. *Climate Dynamics*, 50(3-4), 1093-1114.
9. James, G., Witten, D., Hastie, T. & Tibshirani, R. (2013). *An Introduction to Statistical Learning with Applications in R*. Springer, New York.
10. Jia, G. et al. (2020). Impact of Weather Variability and Climate Change on On-Farm Practices and Crop Production. *Agriculture, Ecosystems & Environment*, 292, 106804.
11. Jia, Sh., Zhu, W., Lü, A., & Yan, T. (2011). A Statistical Spatial Downscaling Algorithm Of TRMM Precipitation Based on NDVI and DEM In The Qaidam Basin of China, Elsevier, *Sciedirect. Remote Sensing Of Environment*, 115, 3069–3079.
12. Jones, P.D. & Hulme, M. (1996) Calculating Regional Climate Times Series for Temperature Precipitation: Methods and Illustrations. *International Journal of Climatology*, 16, 361-377.
13. Kumar, R. & Foufoula-Georgiou, E. (2018). Statistical Downscaling of Climate Models: A Review. *Journal of Hydrology*, 570, 147-162.
14. Lima, C.H.R., Kwon, H.H., & Kim, Y.T. (2021). A Bayesian Kriging model applied for spatial downscaling of daily rainfall from GCMs. *Journal of Hydrology*, Volume 597, ISSN 0022-1694
15. Ma, Z., He, K., Tan, X., Xu, J., Fang, W., He, Y., & Hong, Y. (2018). Comparisons of Spatially

- Downscaling TMPA and IMERG over The Tibetan Plateau. *Remote Sensing*, 10(12), P.1883.
16. Ma, Z., Shi, Z., Zhou, Y., Xu, J., Yu, W., Yang, Y. (2017). A Spatial Data Mining Algorithm for Downscaling TMPA 3B43 V7 Data over the Qinghai Tibet Plateau with the Effects of Systematic Anomalies Removed, Elsevier. *Sciedirect, Remote.* 200 (378-395)
17. Ma, Z., Xu, J., He, K., Han X., Ji, Q., Wang, T., Xiong, W., & Hong, Y. (2020). An Updated Moving Window Algorithm For Hourly-Scale Satellite Precipitation Downscaling: A Case Study In The Southeast Coast Of China. *Journal of Hydrology*, 581, P.124378.
18. Mani, A. & Tsai, FT. (2016) Ensemble Averaging Methods for Quantifying Uncertainty Sources in Modeling Climate Change Impact on Runoff Projection. *Journal of Hydrologic Engineering*. 1:04016067.
19. Paz, S.M. & Willems, P. (2022). Uncovering the strengths and weaknesses of an ensemble of quantile mapping methods for downscaling precipitation change in Southern Africa. *Journal of Hydrology: Regional Studies*, Volume 41, ISSN 2214-5818,
20. Poggio L. & Gimona, A. (2015). Downscaling and correction of regional climate models outputs with a hybrid geostatistical approach, *Spatial Statistics*, Volume 14, Part A, Pages 4-21, ISSN 2211-6753.
21. Safari, M. & Khatami, R. (2019). Evaluating the Performance of Climate Change Projections in an Arid Region Using Weather Generators. *Earth Systems and Environment*, 3(3), 439-451.
22. Semenov, M.A., Brooks, R.J., Barrow, E.M., & Richardson, C.W. (1998). Comparison of WGEN and LARS-WG stochastic weather generators for diverse climates. *Climate Research* 10, 95–107.
23. Seyed Kabli, H. A., Akhundali, M., Masah Bovani, A.R., & Radmanesh, F. (2018). Presenting a microscale model of climatic data based on the non-parametric nearest neighbor (K-NN) method. *Water and Soil Journal (Agricultural Sciences and Industries)*, 26(4): 808-779.
24. Shahidi A., Tajbakhsh, S.M., Khashai Seyuki, A., Khazimenejad, H., & Jafarzadeh, A. (2016). Uncertainty analysis of changes in climatic variables of precipitation and temperature under the influence of climate change (case study: South Khorasan province). *Ecohydrology*, 4(4): 943-953.
25. Shi, Y., Song, L., Xia, Zh., Lin, Y., B. Myneni, R., Choi, S., Wang, L., Ni, X., Lao, C., & Yang, F. (2015). Mapping Annual Precipitation Across Mainland China In The Period 2001–2010 From TRMM3B43 Product Using Spatial Downscaling Approach, MDPI. *Remote Sensing*, 7, 5849-5878.
26. Simonovic, S.P. & Li, L. (2003). Methodology for assessment of climate change impacts on large-scale flood 129(5).
27. Wilby, R.L., Charles, S.P., Zorita, E., Timbal, B., Whetton, P., & Mearns, L.O. (2004). Guidelines for use of climate scenarios developed from statistical downscaling methods, *TGICA*, 27p.
28. Yates, D., Gangopadhyay, S., Rajagopalan, B., & Strzepek, K. 2003. A technique for generating regional climate scenarios using a nearest-neighbor algorithm. *Water Resources Research* 39 (7), SWC 7-1-SWC 7-14.
29. Zhan, Ch., Han, J., Hu, Sh., Liu, L., Dong, Y. (2018). Spatial Downscaling of GPM Annual And Monthly Precipitation Using Regression-Based Algorithms In A Mountainous Area, Hindawi. *Advances In Meteorology*, Volume 2018, Article ID 1506017, 13 Pages.
30. Zhao, N. (2021). An Efficient Downscaling Scheme for High-Resolution Precipitation Estimates over a High Mountainous Watershed. *Remote Sensing*, 13(2), P. 234.

Downscaling of CMIP₆ Rainfall Data Using Digital Elevation Model (Case Study: Yazd Province)

**Elham Mahdavi Nezhad,¹ Seyed Zeynalabedin Hosseini,^{2*} Hossein Maleki Nezhad,³
Mohammad Hassan Rahimian,⁴ Mohammad Amin Asadi⁵**

Received: 19/09/2024

Accepted: 14/03/2025

Extended Abstract

Introduction: Climate change, driven by the increasing concentration of greenhouse gases—particularly carbon dioxide—in the atmosphere, leads to significant alterations in rainfall patterns, runoff volumes, wind speed, solar radiation reaching the Earth's surface, and air temperature. In recent years, the economic and social consequences of climate-related events have heightened the importance of addressing climate change. To study the impacts of climate change on future trends in rainfall, temperature, and other parameters, projected data from climate models, known as General Circulation Models (GCMs) or Atmospheric and Oceanic General Circulation Models (AOGCMs), are widely used. A critical step in utilizing GCM data for projecting climate parameters (e.g., rainfall) is the downscaling process, which converts data from large-scale grid cells to smaller-scale cells or specific points. In this research, rainfall data from CMIP6 climate models (such as TaiESM1, ACCESS-CM2, and CanESM5) were employed to project future rainfall patterns in Yazd Province, located in central Iran. As an arid region, Yazd heavily relies on rainfall as a fundamental component of the hydrological cycle, making it a critical factor in groundwater resource management.

Materials and methods: the study area is Yazd Province, covering an area of 73,000 square kilometers. It is geographically located between latitudes 29.5° to 33.5° N and longitudes 52.5° to 56.5° E. The data used in this research include:

1. Annual rainfall records from 53 rain gauge stations across Yazd Province.
2. A Digital Elevation Model (DEM) map with a spatial resolution of 90 meters.
3. Rainfall data from several climate models included in the Sixth Assessment Report (AR6) of the Intergovernmental Panel on Climate Change (IPCC), specifically the TaiESM1, ACCESS-CM2, and CanESM5 models.

These models have spatial resolutions of $0.942^\circ \times 1.25^\circ$, $1.875^\circ \times 1.25^\circ$, and $2.813^\circ \times 2.791^\circ$, respectively, corresponding to approximate cell dimensions of 105×118 km, 175×138 km, and 270×310 km. The area covered by each cell of the TaiESM1, ACCESS-CM2, and CanESM5 models is approximately $12,400 \text{ km}^2$, $23,600 \text{ km}^2$, and $83,700 \text{ km}^2$, respectively. Each model incorporates four Shared Socioeconomic Pathway (SSP) scenarios for carbon dioxide emissions: SSP1-2.6, SSP2-4.5, SSP3-7.0, and SSP5-8.5. These scenarios were used to simulate monthly and annual rainfall for future periods. Monthly rainfall data were extracted for two time periods: the base period (1850–2014) and the future period (2015–2100), under the aforementioned emission scenarios. Additionally, a regression-based relationship between annual rainfall data and the altitudes of the rain gauge stations was established to derive the rainfall-altitude gradient for the study area. This relationship was then used to generate a rainfall map and, subsequently, a dimensionless rainfall map with a spatial resolution of 90×90 meters. The dimensionless rainfall map represents the ratio of each pixel's annual rainfall to the long-term average rainfall of the region. This map was instrumental in downscaling the coarse-resolution rainfall data from the CMIP6 models into high-resolution rainfall maps with a pixel size of 90×90 meters.

Results: the results of this study indicate that the proposed method for downscaling CMIP6 rainfall data exhibits varying levels of efficiency across the three climate models with different spatial resolutions. Specifically, the method demonstrated higher accuracy with the TaiESM1 model compared to the ACCESS-CM2 and CanESM5 models. As previously mentioned, the area covered by each cell of the TaiESM1, ACCESS-CM2, and CanESM5 models is relatively large, resulting in low spatial resolution for these models. It is concluded that the accuracy of the proposed downscaling method is generally higher

1. PHD student of Watershed Science and Engineering, Faculty of Natural Resources and Desertology, Yazd University; Email: mahdavie30@gmail.com

2. Associate Professor, Pasture and Watershed Department, Faculty of Natural Resources and Desertology, Yazd University; Email: zhosseini@yazduni.ac.ir

3. Associate Professor, Pasture and Watershed Department, Faculty of Natural Resources and Desertology, Yazd University; Email: malekinezhad.h@gmail.com

4. Assistant Professor of the National Salinity Research Center, Agricultural Research, Education and Extension Organization, Yazd, Iran; Email: mhrahimian@gmail.com

5 Assistant Professor, Department of Pasture and Watershed Management, Faculty of Natural Resources and Desertology, Yazd University; Email: amin.asadi4@gmail.com

for climate models with finer spatial resolutions. Among the CMIP6 climate models examined, the following models have smaller cell sizes and are therefore recommended for applying the proposed downscaling method: BCC-CSM2-MR, CAMS-CSM1-0, CESM2-WACCM, CIESM, CMCC-CM2-SR5, FIO-ESM-2-0, GFDL-ESM4, MRI-ESM2-0, INM-CM4-8. Additionally, the findings of this research suggest that the average annual rainfall in Yazd Province is projected to increase in the coming decades. The models predict a rainfall increase ranging from 1% to 23%, with an average increase of 13% compared to the base period. Among the three climate models analyzed, the ACCESS-CM2 model predicted the highest increase in rainfall, particularly under the SSP3-7.0 scenario.

Discussion and Conclusion: In this research, a method for downscaling large-scale rainfall data from CMIP6 climate models was introduced, utilizing the rainfall-altitude gradient and a Digital Elevation Model (DEM) of the region. This method was successfully applied to downscale data from three CMIP6 models: TaiESM1, ACCESS-CM2, and CanESM5. Although these models have relatively large cell sizes, the proposed method enabled the generation of high-resolution rainfall maps for the study area with a spatial resolution of 90×90 meters. The results indicate that the accuracy of the proposed downscaling approach is higher for CMIP6 climate models with finer spatial resolutions compared to those with coarser resolutions. This method is recommended for downscaling CMIP6 rainfall data in regions with similar land surface topography. However, for regions with different topographical characteristics, further investigations may be required to adapt and validate the method.

Keywords: land surface topography, rainfall-altitude gradient, dimensionless rainfall map, General Circulation Models, SSP scenarios.